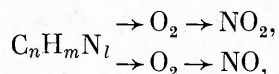


увеличивается и, по-видимому, не зависит от изменения NO_2 , а NO_2 претерпевает сильные изменения, вначале увеличиваясь, а затем резко уменьшаясь. При этом, если ввести в рассмотрение величину выхода оксидов азота (q_N), представляющую собой процентное отношение оксидов азота к теоретически возможному их количеству при 100 %-ном переходе топливного азота в оксиды, то выход NO сохраняется неизменным с увеличением N , а выход NO_2 резко падает (см. рис. 5). Анализ экспериментальных данных дает основания полагать, что топливные NO и NO_2 образуются двумя схематичными путями:



причем нижняя ветвь работает самостоятельно и не зависит от выхода NO_2 , а в верхней ветви происходят сложные кинетические превращения, не объяснимые реакциями (5)–(7), и в условиях стехиометрической смеси явно ощущается дефицит кислорода для образования NO_2 .

На основании результатов экспериментальных исследований можно предположить, что соотношение NO и NO_2 на выходе из ГТД есть результат нескольких относительно независимых процессов, происходящих в камере сгорания. Реакции (5)–(7), объясняя влияние топлив, охватывают далеко не все количество NO , образующееся в пламени, и свойственны относительно низкотемпературным пламенам, характерным для режимов работы двигателей, близких к малому газу. Основная доля топливных NO и термических NO , образующихся по механизму Зельдовича, минует стадию быстрого превращения в NO_2 и последующее преобразование в NO . Последним, по-видимому, объясняется очень высокое значение NO/NO_x на высоконагруженных режимах работы авиационных ГТД (см. рис. 4). Окончательная величина концентраций NO и NO_2 будет зависеть прежде всего от того, какая часть NO будет захвачена реакциями превращения (5)–(7), а какая пройдет, минуя их. Дальнейшее изучение процессов образования NO и NO_2 должно быть связано с постановкой корректных модельных экспериментов с как можно более независимым управлением каждым из предполагаемых механизмов.

ЛИТЕРАТУРА

1. Лефевр А. А. Процессы в камерах сгорания ГТД.— М.: Мир, 1986.
2. Теория воздушно-реактивных двигателей/Под ред. С. М. Шляхтенко.— М.: Машиностроение, 1975.
3. Горбатко А. А., Щербаков В. И., Худяков Е. И. и др. Тр. ЦИАМ, № 983.
4. Образование и разложение загрязняющих веществ в пламени.— М.: Машиностроение, 1981.
5. Sano T. Comb. Sci. and Technol., 1982, 29, 3–6, 261.
6. Jaasma D., Borman G. Ibid., 1980, 23, 1–2, 83.

*Поступила в редакцию 16/III 1987,
после доработки — 22/IX 1987*

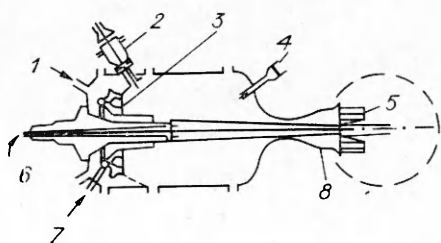
ПРОСТАЯ ОДНОМЕРНАЯ МОДЕЛЬ ВЛИЯНИЯ ЗАГРЯЗНЕННОСТИ ВОЗДУХА НА СВЕРХЗВУКОВОЕ ГОРЕНИЕ

*C. И. Барановский, A. С. Надворский, D. Д. Ромашкова
(Москва)*

Сверхзвуковое горение в каналах экспериментально исследуется, как правило, в условиях присоединенного воздухопровода на модельных установках, имитирующих требуемые режимные параметры нагревом поступающего воздуха [1]. Наиболее часто используются кауперные, электро-

Рис. 1. Принципиальная схема огневого подогревателя.

1 — подача воздуха и кислорода; 2 — форкамера; 3 — шатровые головки; 4 — термопара и датчик давления; 5 — профиль скорости на выходе из подогревателя; 6 — подача топлива через центральное тело; 7 — подача бензина, водорода; 8 — сверхзвуковое сопло.



дуговые и огневые типы подогревателей. Влияние способа подогрева на адекватность моделирования горения отмечалось во многих работах (например, [1, 2]), однако строгие количественные оценки этих эффектов проводились только в [3, 4].

По кинетическим и термодинамическим свойствам холодный и подогретый воздух неадекватны из-за появления активных радикалов и за счет дополнительных молекулярных соединений, отсутствующих в чистом воздухе атмосферы. Разница кинетических свойств реагирующих смесей особенно существенна при сверхзвуковых скоростях течения, так как в этом случае элементарные оценки указывают на сравнимость времени пребывания смеси в канале и общего времени реакции.

В данной работе на основе [4] предпринята попытка численного моделирования влияния типа подогрева на горение водородно-воздушной смеси в сверхзвуковом потоке для выяснения особенностей этих эффектов с целью количественной их оценки и выявления возможностей управления ими.

Самый «чистый», практически не изменяющий состав воздуха — куперный подогреватель (КП) [5], но в силу конструктивной сложности и значительных габаритов он применяется ограниченно. Более широко используется электродуговой подогреватель (ЭДП), в котором осуществляется нагрев до высоких, порядка нескольких тысяч градусов, температур. В воздухе, выходящем из такого подогревателя, обнаружено до 4 % NO_x [6].

В наиболее простых и распространенных огневых подогревателях (ОП) организуется интенсивное смешение топлива (керосин, бензин или водород) с воздухом и воспламенение смеси дежурным факелом. Схема типичного огневого подогревателя [7] представлена на рис. 1. Небольшие скорости течения, наличие шатровых головок, стабилизаторов для образования множества рециркуляционных зон позволяют считать реакцию топлива с окислителем завершенной. Смесь продуктов сгорания обогащается кислородом, чтобы доля O_2 в ней соответствовала воздуху.

Учитывая равномерность поля скорости воздушного потока после разгона в сверхзвуковом сопле (см. рис. 1), а также данные хроматографического анализа проб из различных точек в выходном сечении сопла, свидетельствующие об однородности химического состава [7], можно по равновесной модели рассчитать содержание основных компонентов при следующих допущениях:

- 1) все реагенты находятся в газовой фазе;
- 2) полное выгорание топлива, полнота сгорания $\eta = 1$ (либо η неизвестна);
- 3) коэффициент избытка окислителя $\alpha \geq 0,8$ (при меньших α возможно выпадение конденсата [3]);
- 4) температура смеси на выходе $T_{\text{под}} \geq 900$ К, скорости течения малы, число Маха $M \ll 1$.

Была разработана программа CHON на подмножестве языка ФОРТРАН-4, пригодном для ЭВМ ЕС и СМ, использующая лишь основные четырнадцать компонентов смеси $\text{C} + \text{H} + \text{O} + \text{N}$, участвующих в 10 реакциях. Система равновесных уравнений решается методом квазилинейализации типа Ньютона — Рафсона с выбором начального при-

Таблица 1

Состав смеси на выходе огневого подогревателя

Компоненты	Водородный подогреватель [9]			Бензиновый подогреватель [7]		
	Опыт (T = 1760 K)	Расчет при		Опыт в сухой пробе (T = 1750 K)	Расчет при	
		T = 1760 K	T = 950 K		T = 1750 K	T = 950 K
O ₂	0,26	0,248	0,250	0,49 ± 0,01	0,186	0,187
H ₂ O	0,15	0,158	0,152	—	0,096	0,096
N ₂	0,59	0,590	0,598	0,63 ± 0,01	0,621	0,622
CO ₂	—	—	—	0,089 ± 0,01	0,094	0,094
H ₂	—	2,145 · 10 ⁻⁵	1,669 · 10 ⁻¹²	—	2,092 · 10 ⁻⁶	2,561 · 10 ⁻¹²
OH	—	5,907 · 10 ⁻⁴	8,107 · 10 ⁻⁸	—	2,704 · 10 ⁻⁴	4,107 · 10 ⁻⁸
H	—	5,059 · 10 ⁻⁸	2,112 · 10 ⁻¹⁶	—	9,393 · 10 ⁻⁸	4,907 · 10 ⁻¹⁶
O	—	2,603 · 10 ⁻⁵	2,212 · 10 ⁻¹¹	—	9,188 · 10 ⁻⁶	9,019 · 10 ⁻¹²
NO	—	3,633 · 10 ⁻³	2,1422 · 10 ⁻⁵	—	3,107 · 10 ⁻³	1,888 · 10 ⁻⁵
CO	—	—	—	—	7,71 · 10 ⁻⁶	1,665 · 10 ⁻¹²

Примечание. Водородный подогреватель: $G_T = 0,045 \text{ кг/с}$, $G_B = 2,059 \text{ кг/с}$, $G_{O_2} = 0,540 \text{ кг/с}$, $p = 0,9 \text{ атм}$. Бензиновый подогреватель: $G_T = 0,123 \pm 0,003 \text{ кг/с}$, $G_B = 2,10 \pm 0,02 \text{ кг/с}$, $G_{O_2} = 0,49 \pm 0,01 \text{ кг/с}$, $p = 15,5 \text{ атм}$ (G_T , G_B , G_{O_2} — расходы топлива, воздуха и кислорода; p — статическое давление). Для водородного подогревателя приведена массовая концентрация, для бензинового — объемная. Бензин Б-70 — C_{7,267}H_{14,796}.

ближения аналогично [8]. Основное достоинство программы состоит в малом времени счета и простоте реализации.

Расчет химического состава на выходе огневого подогревателя (табл. 1) при использовании в качестве топлива водорода [9] и бензина Б-70 показывает, что погрешность вычислений не больше ошибки измерения в этих опытах. В зависимости от типа подогрева в воздухе присутствуют примеси: 1) H, O, NO₂, 2) NO, NO₂ (ЭДП), 3) CO, CO₂ (бензиновый ОП), 4) H₂O (водородный и бензиновый) ОП. Рассмотрим их влияние на горение системы H₂ + воздух в диапазоне $p = 0,1 \div 30 \text{ атм}$, $T = 300 \div 3000 \text{ К}$ в рамках прямой кинетической задачи.

Выбор определяющих, самых важных стадий химического механизма представляет собой сложнейшую задачу. Простым перебором стадий ее не решить. Нужны критерии выбора, одним из которых является кинетическая доля

$$\gamma_{ij} = \omega_{ij} / \sum_{j=1}^N \omega_{ij}, \quad (1)$$

где ω_{ij} — скорость образования j -го компонента в реакции. Но можно показать [2], что существуют ситуации, когда он не годится, ибо та или иная реакция может оказаться медленной по одному компоненту и быстрой по другому. Кроме того, кинетическая доля не нормирована. Более общий критерий — термодинамическая доля [2], учитывающая не только отклонение реагирующей системы от равновесия, но и чисто кинетические особенности:

$$\begin{aligned} q_j &= \dot{G}_j / \sum_{j=1}^N \dot{G}_j, \\ \dot{G}_j &= -RT \sum_{j=1}^N (\omega_j^+ - \omega_j^-) \ln(\omega_j^+ / \omega_j^-), \end{aligned} \quad (2)$$

где \dot{G}_j — скорость изменения неравновесной свободной энергии Гиббса по времени. Доля стадии q_j обобщается на весь детальный кинетический механизм введением (в терминах [2]) б-представительности. Критерий (1) также не дает достаточных условий для построения оптимального механизма, так как имеется произвол в выборе минимального значения

Таблица 2

Реакция	K_j				K_{-j}				$\Delta, \%$
	A	α	n	β	A	α	n	β	
1. $H_2 + O_2 = 2OH$	1,475	13	—	19 250	4,6	11	—	10 230	200
2. $OH + H_2 = H_2O + H$	1,144	9	1,3	1 825	4,975	9	1,3	9 355	50
3. $H + O_2 = OH + O$	1,445	14	—	8 250	1,165	13	—	280	30
4. $O + H_2 = OH + H$	1,807	10	1	4 480	7,994	9	1	3 440	30
5. $H_2 + M = 2H + M$	4,754	18	—1	52 650	1,088	18	—1	—	50
6. $H_2O + M = H + OH + M$	6,766	23	—2	60 180	3,626	22	—2	—	100
7. $H_2O_2 + M = 2OH + M$	1,2	17	—	22 850	8,75	14	—	28 325	200
8. $HO_2 + M = H + O_2 + M$	1,021	16	—	22 960	7,253	15	—	—500	30
9. $HO_2 + H_2 = H_2O_2 + H$	7,25	11	—	9 900	1,55	13	—	2 000	300
10. $HO_2 + H_2 = H_2O + OH$	6,022	11	—	9 400	2,737	11	—	37 110	500
11. $HO_2 + H_2O = H_2O_2 + OH$	2,5	13	—	16 250	1,15	13	—	885	50
12. $2HO_2 = H_2O_2 + O_2$	3,0	12	—	—	1,25	11	0,5	20 600	300
13. $H + HO_2 = 2OH$	2,409	14	—	950	2,59	13	—	21 130	200
14. $H + HO_2 = H_2O + O$	1,4	13	—	1 045	0,55	13	—	29 000	300
15. $H + HO_2 = H_2 + O_2$	2,409	13	—	350	7,299	13	—	29 550	250
16. $O + HO_2 = OH + O_2$	4,818	13	—	500	6,423	13	—	28 660	500
17. $H + H_2O_2 = H_2O + OH$	1,0	15	—	5 350	1,15	14	—	39 850	500
18. $OH + M = O + H + M$	6,843	18	—1	51 610	3,626	18	—1	—	100
19. $HO_2 + OH = H_2O + O_2$	3,011	13	—	—	3,962	14	—	36 730	1500
20. $O + N_2 = N + NO$	7,6	13	—	38 000	1,6	13	—	—	20
21. $H + NO = N + OH$	2,0	14	—	23 650	1,0	14	—	—	50
22. $O + NO = N + O_2$	1,5	9	1	19 500	6,4	9	1	3 150	30
23. $NO + OH = H + NO_2$	2,0	11	0,5	15 500	3,5	14	—	740	20
24. $NO + O_2 = NO_2 + O$	1,0	12	—	22 800	1,0	13	—	302	30
25. $NO_2 + H_2 = H + HNO_2$	2,4	13	—	14 500	5,0	11	0,5	1 500	80
26. $NO_2 + OH = NO + HO_2$	1,0	11	0,5	6 000	3,0	12	0,5	1 200	100
27. $HNO_2 + M = NO + OH + M$	5,0	17	—1	25 000	8,0	15	—	—1000	150
28. $NO_2 + M = NO + O + M$	1,1	16	—	32 742	1,1	15	—	—941	50
29. $CO + OH = CO_2 + H$	1,686	7	1,3	—330	1,756	9	1,3	51 610	30
30. $CO + HO_2 = CO_2 + OH$	1,506	14	—	2 200	1,673	15	—	42 950	100
31. $O + CO + M = CO_2 + M$	2,539	15	—	11 900	4,959	17	—	64 670	300
32. $O + CO_2 = CO + O_2$	2,107	13	—	26 890	2,529	12	—	24 000	30

П р и м е ч а н и е. $K_j = A \times 10^\alpha \times T^n \times e^{-\frac{E}{RT}}$; размерности K_j, K_{-j} для бимолекулярных реакций $\text{см}^3/(\text{моль} \cdot \text{с})$, для тримолекулярных — $\text{см}^6/(\text{моль}^2 \cdot \text{с})$. Δ — ошибка определения K_j, K_{-j} .

δ_{\min} , ниже которого можно считать стадию непредставительной. Отсутствует также уверенность в неизменности свойств построения механизма при вариации констант скоростей реакций, а погрешность измерения некоторых констант доходит до 800 % [2, 10]. Поэтому обязательно тщательное тестирование механизма на экспериментальных данных.

При построении детального кинетического механизма в данной работе ставились условия: описание II—IV пределов воспламенения, адекватный учет влияния добавок, определение времен задержки воспламенения τ_s , длительности реакции τ_p , причем погрешность расчетов не должна быть больше 10 %. Полученный детальный кинетический механизм $\Gamma^{\text{опт}}$ с $\delta \geq 0,9$ отличается от использовавшихся ранее. Для системы $H_2 + O_2$ он включает 19 обратимых стадий, выбранных на основе рекомендаций [2], но значения большинства констант скоростей выбирались из [10], что, впрочем, не противоречит [2], так как в [2] приведены доверительные интервалы изменения констант (табл. 2).

Влияние NO и NO_2 на τ_s в системе $H_2 + O_2 + NO_x$ исследовано экспериментально и теоретически в [11], где предложена и приведена система реакций, включенная в $\Gamma^{\text{опт}}$ с теми же константами скоростей

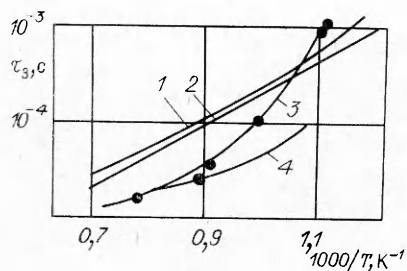


Рис. 2. Расчет времени задержки воспламенения стехиометрической смеси $H_2 + O_2$ по различным кинетическим механизмам ($p = 1$ атм).

1, 2 — 8-стадийный механизм с константами скоростей из [1, 12]; 3 — расчет авторов по Γ^{opt} ; 4 — 20-стадийный механизм (заимствовано из [1]); точки — эксперимент [11].

и дополненная расширенным механизмом Я. Б. Зельдовича образования NO_x . Стадии 29—32 описывают взаимодействие CO_x , содержащегося в загрязненном воздухе, со смесью $H_2 + O_2$. Из 16 возможных реакций по критерию (2) выбрано лишь 4, так как доля q_i остальных стадий была во всем диапазоне p, T значительно меньше. Константы скоростей взяты из [10]. Γ^{opt} проверялась на многочисленных опытных данных поэтапно, сначала для чистой смеси $H_2 + O_2$, затем с добавками H_2O [1], NO_x [11]. Для $H_2 + O_2 + NO_x + H_2O$ Γ^{opt} удовлетворяет указанным требованиям, эксперименты же со смесями $H_2 + O_2 + CO_x$ в нужном диапазоне p и T авторам не известны.

Размерность Γ^{opt} достаточно велика. Возможно ли ее уменьшение? В этой связи можно констатировать, что при горении смеси $H_2 + \text{воздух} + H_2O$ NO_x выделяется незначительно, причем основная часть после завершения горения. Следовательно, лишь при наличии априори NO_x в воздухе (обычно после подогрева в ЭДП) есть смысл учета стадий 19—29. Аналогично учет CO_x нужен лишь после огневого подогрева с помощью углеводородного топлива. Иногда из всех кинетических характеристик необходимо знать только τ_3 . В этом случае используют брутто-механизмы из 8—9 стадий типа, предложенного Даффом [3], т. е. HO_2 и H_2O_2 , имеющие значение при низких либо при очень высоких температурах [1], отбрасываются, как несущественные.

Такой подход представляется малообоснованным, так как:

а) погрешность расчета τ_3 у брутто-механизма удовлетворительна в узком диапазоне. На рис. 2 показан расчет τ_3 по механизму Даффа с различными константами скоростей из [1, 12]. Здесь и далее τ_3 определяется по пятипроцентному повышению температуры;

б) уменьшение времени счета из-за сокращения стадий с 19 до 8—9 несущественно, поскольку время счета определяется в основном количеством дифференциальных уравнений для химических компонентов, а не количеством реакций. При использовании численных методов типа рассматриваемых ниже нет большой разницы между решением шести либо восьми уравнений;

в) брутто-механизм включает реакции $O_2 + M = O + O + M$ и $H_2O + O = 2 OH$, кинетические и термодинамические доли которых незначительны в выделенном диапазоне p, T (они не входят в Γ^{opt}), и вместе с тем не учитывает ряд очень важных стадий, например $H + O_2 + M = HO_2 + M$, что влияет на точность расчетов. Даже полный 20-стадийный механизм [1], видимо, из-за неучета некоторых реакций приводит к немалым погрешностям (см. рис. 2).

Для решения прямой кинетической задачи наиболее часто применяют численные методы, не ориентированные на конкретные химические механизмы и не использующие линеаризацию исходной системы обыкновенных дифференциальных уравнений (ОДУ), либо линейное преобразование переменных с целью снижения жесткости кинетических уравнений [13]. На основании накопленного опыта решения жестких ОДУ в [14] сформулированы условия, которым должен удовлетворять численный метод решения ПКЗ для детального кинетического механизма: устойчивость $A(L)$, относительная точность решения $\epsilon \leq 10^{-3}$, степень метода не менее второй, равномерное приближение экспоненциальной

составляющей решения, минимальное время решения на ЭВМ, простота программной реализации и разумный объем необходимой оперативной памяти.

С учетом этих условий выбор алгоритма сводится к методам Гира и Розенброка. Метод Гира — линейный, многошаговый, A -устойчивый, переменной степени с изменяющимся шагом. Несмотря на большую его популярность, появление все новых модификаций, следует отметить его неэффективность для ряда задач с большой жесткостью [15]. В некоторых реализациях степень метода понижается до первой на жестких участках. Все известные программы весьма объемны.

В данной работе используется метод Розенброка в модификации Ваннера (ROW) [16], удовлетворяющий сформулированным выше условиям. Он обобщает метод Рунге — Кутта, для автономного ОДУ имеет вид

$$\begin{aligned} Z_{n+1} &= Z_n + \sum_{i=1}^R p_i K_i, \\ K_i &= hf \left(Z_n + \sum_{s=1}^{i-1} \beta_{is} K_s \right) + \gamma h \frac{\partial f \left(Z_n + \sum_{s=1}^{i-1} \gamma_{is} K_s \right)}{\partial z}, \end{aligned} \quad (3)$$

где γ_{is} , γ , β_{is} , p_i — параметры; R — степень метода. Правая часть (3) содержит якобиан функции f , зависящий от шага интегрирования h и всех предыдущих векторов K_s . Следовательно, основной объем вычислений на ЭВМ приходится на якобиан. Попытка уменьшить время счета приравниванием к нулю γ_{is} либо использованием одного значения якобиана на протяжении нескольких шагов интегрирования оказалась неконструктивной. Логично решение Ваннера, представившего якобиан как сумму двух членов. В матричном виде уравнения для K_i в ROW записываются следующим образом:

$$(I - \gamma h \Phi') K_i = hf \left(Z_n + \sum_{s=1}^{i-1} \beta_{is} K_s \right) + h \Phi' \sum_{s=1}^{i-1} \gamma_{is} K_s, \quad i = 1 \div R. \quad (4)$$

Здесь I — квадратная единичная матрица; $\Phi' = \left\| \frac{\partial f}{\partial z} \right\|$. Схема (4) в отличие от (3) балансна, не продуцирует отрицательных решений.

Для определения K_i решается система (4), обладающая рядом особенностей, делающих ее неэффективным [17] либо невозможным обращение матрицы $(I - \gamma h \Phi')$ обычными методами, поэтому используется ее LU-разложение с помощью подпрограммы из [18]. Элементы матрицы при решении прямой кинетической задачи записываются аналитически, что позволяет считать их точно с минимальными затратами по времени.

В [16] предложены методы ROW 3- и 4-й степеней, причем их параметры выбираются так, что γ , γ_{is} , β_{is} для 3-й степени (ROW3) входят в параметры ROW4. Это опять же сокращает время счета и используется для выбора оптимальной величины шага по соотношению между необходимой ε и действительной локальной погрешностью $\hat{\varepsilon}$: $h_{n+1} = h_n \times 0,9 (\varepsilon / \hat{\varepsilon})^{1/4}$ при ограничениях на вариацию шага $h_{n+1} = \max \{1,5h_n, h_{n+1}\}$, $h_{n+1} = \min \{0,5h_n, h_{n+1}\}$. Локальная ошибка определяется из выражения

$$\hat{\varepsilon} = \max |Z_{n+1} - \tilde{Z}_{n+1}| / S_j,$$

где Z_{n+1} , \tilde{Z}_{n+1} получены из ROW3 и ROW4, а $S_j = \max \{1, |Z_{n+1}|\}$. Отметим, что новый шаг h_{n+1} принимается лишь в том случае, если $\hat{\varepsilon} \leq \varepsilon$, в противном случае производится «холостой» шаг. Обычно подобное явление имеет место в начале отрезка интегрирования при завышенных начальных значениях шага.

Для нежестких ОДУ разница между ROW3 и ROW4 незначительна, точность метода становится избыточной. В этом случае нужны ог-

граничения:

$$\hat{\varepsilon} = \max \{\hat{\varepsilon}, 10^{-8}\}; h_{n+1} = \min \{0,01, h_{n+1}\}.$$

Программа, реализующая ROW, написана на языке ФОРТРАН-4 для ЕС ЭВМ и невелика по объему. Все вычисления выполняются без двойной точности. Тестирование алгоритма ROW проводилось в [16] и авторами данной работы на 25 модельных жестких ОДУ с различными особенностями. Проверка подтвердила надежность метода и его эффективность, а также малое время счета. Оказалось, что ROW в среднем в 2 раза быстрее по времени счета, чем версия GEAR — DRIVE [16], в 3—4 раза быстрее метода [19]. На нежестких задачах она проигрывает в 1,5 раза лучшим алгоритмам типа Кутта — Мерсона [18] и другим, ориентированным исключительно на нежесткие уравнения, и в то же время не менее чем в 2 раза быстрее стандартных алгоритмов из пакета прикладных программ ЕС ЭВМ.

Рассмотрим решение прямой кинетической задачи в нуль-мерном приближении. Запишем кинетические уравнения для реактора идеального смешения

$$d\gamma_i/dt = \omega_i, \quad h^0 = \sum_i \gamma_i \dot{I}_i(T) = \text{const}, \quad p = \rho RT/\mu = \text{const}, \quad (5)$$

где t — время, а ω_i находятся по $\Gamma^{\text{опт}}$.

Рассмотрим влияние примесей на τ_s для смеси $\text{H}_2 + \text{воздух}$. Радикалы Н, О, OH , NO_2 способны резко сдвинуть влево начало реакций [2, 3]. Незначительная ($<10^{-5}$ моль/л) концентрация их в несколько раз снижает τ_s , не исключая, естественно, вообще задержку воспламенения. В [2] отмечается, что искусственное задание концентраций указанных радикалов больше максимальных, достижимых при горении, не приводит к изменению τ_s . Но расчет по (5) показывает невозможность такого подогрева воздуха, чтобы это условие выполнялось для всех радикалов одновременно. Поэтому бороться с их влиянием можно уменьшением содержания радикалов на выходе подогревателя путем увеличения его длины (см. рис. 1), с тем чтобы успевали завершаться реакции рекомбинации, либо точного выдерживания необходимого температурного режима — снижения температуры смеси до минимально допустимой, поскольку тогда (см. табл. 1) концентрация радикалов уменьшается на несколько порядков. В реальном подогревателе падение статической температуры зависит от числа Маха и интенсивности охлаждения стенок.

Влияние NO_x на τ_s стехиометрической смеси $\text{H}_2 + \text{O}_2$ резко возрастает с повышением давления. На рис. 3 приведены данные при $p = 2$ атм. Видна также роль начальной температуры: при $T_0 = 800$ К эффект максимален (сокращение задержки на порядок). Экспериментальные точки заимствованы из [11], расчет по $\Gamma^{\text{опт}}$. Приведенная в [11] теоретическая кривая по 60-стадийному кинетическому механизму дает незначительно отличающийся результат.

Итак, небольшая примесь NO_x ($<1,5\%$ по объему) существенно изменяет кинетические свойства смеси. Одним из методов борьбы с образованием NO_x , по-видимому, может быть подогрев воздуха в ЭДП до значительно большей температуры, чем нужная, и далее перемешивание его с холодным, но чистым воздухом для снижения концентрации NO_x в получающейся смеси.

Наличие H_2O и CO_2 в воздухе характерно при огневом подогреве (водородном и бензиновом). Зависимость воздействия этих примесей на τ_s от T_0 показана на рис. 4. При $T_0 = 1000$ К добавка лишь значительного их количества (больше 15% по массе) изменяет τ_s , причем эффекты от H_2O и CO_2 противоположны. С увеличением T_0 вода выступает в роли промотора и ингибитора, суть этого эффекта объяснена в [2]. При $T_0 = 1000$ К добавка воды приводит к более чем 3-кратному изменению τ_s . Понятно, что в реальном случае подогретый воздух включает всегда несколько примесей, поэтому анализ по зависимостям, пред-

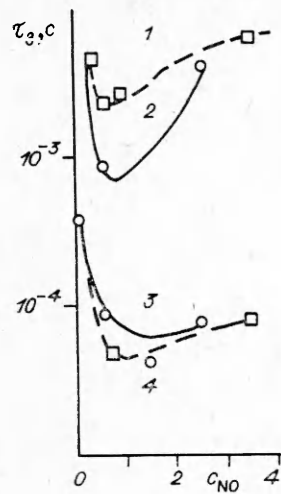


Рис. 3. Влияние NO_2 на τ_3 для стехиометрической смеси $\text{H}_2 + \text{O}_2$ при различных начальных температурах ($p = 2$ атм).

\circ , \square — опыты [11] с добавками NO , NO_2 соответственно; T_0 : 1, 2 — 800, 3, 4 — 1000. Добавки: 1, 4 — NO , 2, 3 — NO_2 .

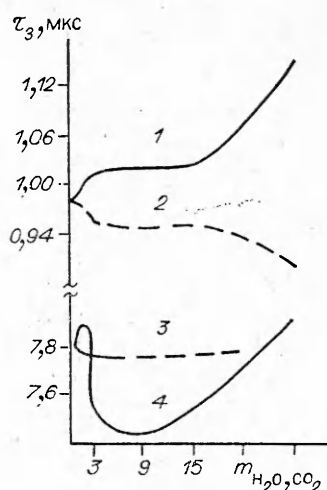


Рис. 4. Влияние CO_2 , H_2O на время задержки воспламенения в стехиометрической смеси $\text{H}_2 + \text{O}_2$ ($p = 1$ атм). Добавки H_2O , CO_2 при $T_0 = 1000$ К (1, 2) и 1500 К (3, 4).

ставленным на рис. 3, 4, полезен, но недостаточен; например, изменение τ_3 может быть и более значительным [4]. Из-за различия в удельной теплоемкости чистого и загрязненного воздуха меняется также величина максимально достижимой при горении температуры T_{\max} , причем больше всего снижает T_{\max} наличие H_2O (до 200 К), и в меньшей степени добавка CO_2 [4].

При решении прямой кинетической задачи по (5) возможна оценка основных кинетических параметров, а также подбор и оптимизация состава подогретого воздуха с целью уменьшения влияния примесей. На практике следует еще учитывать возможные химические процессы при прохождении смеси через сверхзвуковое сопло (см. рис. 1). Кроме того, экспериментаторов интересуют не столько времена τ_3 и τ_p , сколько расстояния, на которых реализуется задержка при конкретных условиях на входе в канал заданной геометрии.

Перейдем теперь к рассмотрению одномерной модели течения реагирующей смеси в канале. Исходная система газодинамических уравнений выглядит следующим образом:

$$\rho v F = \text{const},$$

$$\rho v \frac{dv}{dx} + \frac{dp}{dx} = 0,$$

$$h^0 + \frac{1}{2} v^2 = \text{const},$$

$$h^0 = \sum_{i=1}^{15} \gamma_i \dot{I}_i^0(T), \quad \mu = 1 / \sum_{i=1}^N \gamma_i, \quad (6)$$

$$\rho v \frac{d\gamma_i}{dx} = \tilde{\omega}_i, \quad i = 1 \div 15,$$

где $\tilde{\omega}_i = \rho \omega_i$; ω_i — скорость образования i -го компонента по $\Gamma^{\text{опт}}$; h^0 — энталпия; ρ — плотность; v — скорость; F — площадь канала.

В дифференциальной форме система (6) примет вид [4]

$$\begin{aligned}
\frac{d\gamma_i}{dx} &= \frac{\omega_i}{v}, \quad i = 1 \div 15, \\
\frac{dv}{dx} &= \frac{v}{M^2 - 1} \left(\frac{1}{F} \frac{dF}{dx} - A \right), \\
\frac{d\rho}{dx} &= \rho \left[\frac{M^2}{M^2 - 1} \left(\frac{1}{F} \frac{dF}{dx} - A \right) + A \right], \\
\frac{dT}{dx} &= - T \left[\frac{(x-1) M^2}{M^2 - 1} \left(\frac{1}{F} \frac{dF}{dx} - A \right) + 13 \right], \\
A &= \frac{\mu}{v} \sum_{i=1}^{15} \omega_i - B, \quad B = \frac{1}{c_p T v} \sum_{i=1}^{15} \dot{I}_r^0(T) \omega_i, \\
M^2 &= \frac{v^2 \mu}{\kappa R T}, \quad c_p = \sum_{i=1}^{15} c_{p_i}^0(T) \gamma_i.
\end{aligned} \tag{7}$$

Отметим, что все уравнения системы жесткие.

По системе (7) возможны упрощенный анализ сверхзвукового течения перемешанной смеси $H_2 +$ воздух в канале переменной площади, получение экстремальных оценок длины канала, расстояния задержки воспламенения и т. д. В реальном случае при раздельной подаче топлива и окислителя эти величины будут иными. Важно другое — если по модели (7) верно рассчитать режим подогрева, устраняющий либо уменьшающий кинетическое влияние примесей, то и при двумерном расчете диффузионного горения [7] выбранный режим будет подходить наилучшим образом, так как кинетические свойства определяются одним и тем же механизмом Γ^{opt} .

На рис. 5 приведены результаты одномерного расчета течения в комбинированном осесимметричном канале диаметром $D_0 = 0,348$ м, состоящем из цилиндрического участка длиной 0,253 м и расширяющейся части с углом раскрытия $1^\circ 21'$ [4]. На входе в канал $M_{\text{вх}} = 3$, $p_{\text{вх}} = 1$ атм, коэффициенты избытка воздуха в подогревателе и канале: $\alpha_{\text{под}} = 1$, $\alpha_{\text{кан}} = 4,2$. Варьируется рабочее тело в ОП (водород, бензин Б-70) при $T_0 = 1000$ К, смесь обогащается кислородом. Сравнение с кауперным подогревом по температурным кривым наглядно демонстрирует влияние способа подогрева и возможности модели. Кривая 2 соответствует бензиновому подогреву при $\alpha_{\text{под}} = 3$. На рис. 5 показана статическая температура, различие по температуре торможения еще больше.

Итак, предложенная простая модель течения с учетом детального кинетического механизма $H_2 +$ воздух + $\text{NO}_x + \text{CO}_x$ позволяет оценить

влияние типа подогрева на корректность экспериментального моделирования натурных условий. Показано, что обогащение смеси кислородом является необходимым, но не достаточным условием корректного моделирования с помощью огневого подогрева. Огневой подогрев на углеводородном топливе предпочтительней водородного.

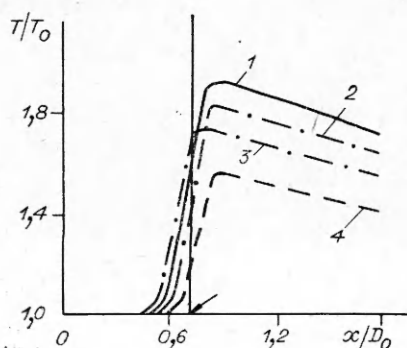


Рис. 5. Влияние рабочего тела огневого подогревателя на статическую температуру.
Подогрев: 1 — кауперный; 2, 3 — бензиновый; 4 — водородный. Стрелкой обозначено место расширения канала.

ЛИТЕРАТУРА

- Баев В. К., Головичев В. И., Третьяков П. К. и др. Горение в сверхзвуковом потоке.— Новосибирск: Наука, 1984.
- Димитров В. И. Простая кинетика.— Новосибирск: Наука, 1982.

3. Edelman R. B., Spadaccini L. J. J. Spacecraft and Rockets, 1969, 6, 12, 1442.
4. Надворский А. С., Ромашкова Д. Д. Изв. АН БССР. Сер. физ.-энерг. наук, 1986, 3, 78.
5. Drewry J. E., Neer M. E., Scaggs M. A. AIAA Paper, 73—1320.
6. Orth R. C., Billig F. S., Grenlevsky P.—In: Progress in Aeron. and Astronautics. V. 34, 1972.
7. Баарановский С. И., Левин В. М., Надворский А. С. и др.—В кн.: Процессы турбулентного переноса в реагирующих системах.—Минск, 1986.
8. Дайер, Мейплз. РТК, 1981, 5.
9. Cohen L. S., Guile R. N. NASA CR-1473, 1969.
10. Jensen D. E., Jones G. A. Comb. Flame, 1978, 32, 1.
11. Slack M., Grillo A. NASA CR-2198, 1977.
12. Sislian J. P., Evans J. S., Glass I. I. Canad. Aeron. Space J., 1979, 25, 1, 61.
13. Гольденберг М. Я., Полак Л. С., Левицкий А. А. Вычислительные методы в химической кинетике.—М.: Наука, 1984.
14. Луценко В. П., Надворский А. С., Ромашкова Д. Д.—В кн.: Научно-методические материалы по процессам авиадвигателей.—М.: Изд. ВВИА им. Жуковского, 1982.
15. Захаров А. Ю. Препринт ИПМ АН СССР, № 125, 1979.
16. Karp P., Rentrop P. Numer. Math., 1979, 33, 55.
17. Ракитский Ю. В., Устинов С. М., Черноруцкий И. Г. Численные методы решения жестких систем.—М.: Наука, 1979.
18. Форсайт, Мальcolm, Моулер. Машинные методы математических вычислений.—М.: Мир, 1979.

Поступила в редакцию 8/I 1987,
после доработки — 26/V 1987

ВЛИЯНИЕ ТУРБУЛЕНТНОСТИ НА ГОРЕНИЕ РАСПЫЛЕННОГО ЖИДКОГО ТОПЛИВА

B. P. Кузнецов
(Москва)

Необходимость исследования горения распыленного жидкого топлива в турбулентном потоке обусловлена широким распространением этого способа в разнообразных технических устройствах и отсутствием единой точки зрения на механизм горения смеси капель и воздуха. Обычно рассматриваются две принципиально разные модели. В первой каждая капля окружена фронтом пламени, а расстояние от этого фронта до центра капли пропорционально ее диаметру [1, 2]. Во второй модели горение капель как индивидуальных образований невозможно, например, из-за большой кривизны пламени. Положение зоны реакций определяется смешением воздуха и топлива, испарившегося со всех капель, а расстояние от какой-нибудь капли до фронта пламени не связано с ее диаметром d .

Поскольку с уменьшением d растет поток топлива к фронту пламени, то возможно индивидуальное горение лишь достаточно крупных капель. С другой стороны, вследствие нестационарности турбулентных движений такие капли полностью никогда не увлекаются. Роль этого фактора ясна при сопоставлении скорости срыва пламени с капли w_m с пульсационной скоростью газа u . В нормальных условиях имеем $w_m \approx 30$ см/с [3], в то время как в большинстве технических устройств $u \approx 1 \div 10$ м/с, т. е. возможен срыв пламени даже с малоинерционных капель. Отсюда ясно, что роль турбулентности велика, а исследование ее влияния на горение распыленного жидкого топлива является важной задачей.

Для ее решения рассмотрим сначала горение капли, полностью увлеченной потоком. Оценим минимальный диаметр d_m , при котором возможно устойчивое горение. Из [4] следует, что удельный поток топлива к диффузионному пламени q не больше удельного потока топлива в нормальном пламени, распространяющемся по стехиометрической смеси, т. е. $q < u_n \rho_0 z_s$ (u_n , ρ_0 , z_s — скорость нормального распространения пла-